

بهینه‌سازی توأمانِ فواصل بازرسی و حد کنترل در نگهداری و تعمیر مبتنی بر شرایط

حمیدرضا گل‌مکانی (استادیار)

فهیمة فتاحی‌پور (کارشناس ارشد)
دانشکده‌ی مهندسی صنایع، دانشگاه تفرش

در استراتژی نگهداری و تعمیر مبتنی بر شرایط دستگاه (CBM)^۱، هدف این است که با انجام بازرسی‌های دوره‌یی و کنترل شرایط دستگاه به عمر واقعی تعویض نزدیک شود. تحقیقات متعددی درخصوص لحاظ تبعات اقتصادی تصمیمات در استراتژی CBM صورت گرفته است. از جمله این تحقیقات، روش حد کنترل است که در آن نرخ توأم نرخ خرابی دستگاه^۲ و تأثیر مقادیر متغیرهای کنترل شرایط^۳ با استفاده از مدل تلفیقی نرخ خرابی PHM^۴ و با توجه به سوابق اطلاعاتی دستگاه، تخمین زده می‌شود. سپس، با لحاظ هزینه‌های تعویض، بهترین حد کنترل به‌گونه‌یی که متوسط هزینه‌های مذکور در یک دوره طولانی کمینه شود، تعیین می‌شود. در مدل ارائه شده در نوشتار حاضر، علاوه بر لحاظ هزینه‌های تعویض در تعیین حد کنترل بهینه، هزینه انجام بازرسی‌ها نیز در نظر گرفته شده است تا بتوان بهترین فواصل بازرسی را به‌گونه‌یی تعیین کرد که متوسط مجموع هزینه‌های تعویض و بازرسی کمینه شود.

واژگان کلیدی: نگهداری و تعمیرات براساس شرایط، مدل تلفیقی نرخ خرابی، هزینه‌های بازرسی، بهترین فاصله‌ی زمانی بین بازرسی‌ها، ماتریس احتمال انتقال وضعیت.

golmakni@mie.utoronto.ca
fattahipour@gmail.com

۱. مقدمه

می‌شود. واضح است که «سنجش وضعیت دوره‌یی» با ریسک از دست دادن علائم و هشدارهای مربوط به خرابی‌هایی که ممکن است در فواصل بین بازرسی‌های متوالی رخ دهند، همراه خواهد بود.^[۴]

چالش اساسی در CBM توأم با سنجش وضعیت دوره‌یی، تعیین حد کنترل برای تعویض پیشگیرانه و تعیین بهترین فاصله‌ی بین بازرسی‌های متوالی است. دیدگاه‌های مختلفی به منظور بهینه‌سازی زمان اجرای بازرسی‌ها مطرح شده است،^[۵-۸] در این تحقیقات فرض بر آن است که دستگاه بعد از تعداد متناهی مرحله (وضعیت) دچار خرابی می‌شود و حد کنترل برای تعویض پیشگیرانه، مشاهده‌ی نزدیک‌ترین وضعیت به وضعیت خرابی است. با این فرض که حد کنترل برای تعویض پیشگیرانه یکی از وضعیت‌های دستگاه است، مدل‌هایی به منظور بهینه‌سازی توأمان حد کنترل و زمان اجرای بازرسی‌ها ارائه شده است.^[۹-۱۳]

با در نظر گرفتن هزینه‌های تعویض پیشگیرانه و هزینه‌های تعویض به دلیل وقوع خرابی، مدلی ارائه شده که طی آن، حد کنترل برای تعویض پیشگیرانه، علاوه بر وضعیت دستگاه، به مقدار هزینه‌های مذکور نیز وابسته است.^[۱۴-۱۹] در این مدل با استفاده از سوابق اطلاعاتی حاصل از بازرسی‌ها و نتایج آنها و نیز وقوع خرابی‌ها، با معیار کمینه‌سازی متوسط هزینه‌های تعویض پیشگیرانه و هزینه‌های تعویض به دلیل وقوع خرابی در بلندمدت، حد کنترل بهینه برای دستگاه محاسبه می‌شود. یکی

نگهداری و تعمیر مبتنی بر شرایط دستگاه (CBM) برنامه‌یی ویژه‌ی برای نگهداری و تعمیرات است که تصمیم‌گیری در آن براساس اطلاعات به دست آمده از سنجش وضعیت دستگاه صورت می‌گیرد. هدف CBM جلوگیری از فعالیت‌های نگهداری و تعمیرات غیرضروری است. در این استراتژی، تنها در صورت وجود شواهد نشان‌گر رفتار غیرعادی دستگاه در اطلاعات حاصل از سنجش وضعیت، اجرای فعالیت‌های نگهداری و تعمیرات پیشنهاد می‌شود. بنابراین در صورت طراحی و اجرای مناسب برنامه‌ی CBM، هزینه‌های نگهداری و تعمیرات به میزان قابل توجهی کاهش می‌یابد.^[۱] قابلیت اطمینان سیستم نیز با اجرای CBM، در مقایسه با اجرای سایر روش‌های نگهداری و تعمیرات پیشگیرانه، بیشتر خواهد بود.^[۲،۳]

بازرسی و سنجش وضعیت، برحسب نوع و عملکرد دستگاه، ممکن است پیوسته یا دوره‌یی باشد. در «سنجش وضعیت پیوسته»، دستگاه معمولاً توسط حسگرهای نصب شده روی آن تحت نظارت پیوسته قرار دارد. سیگنال‌های ارسالی از دستگاه، به علت پارازیت‌های ناشی از این نوع سنجش، ممکن است اطلاعات تشخیصی غلطی ارائه دهند. وجود این عیب در سنجش وضعیت پیوسته، به همراه هزینه‌های بالای اجرای آن، در بسیاری موارد منجر به طراحی و اجرای سنجش وضعیت دوره‌یی

تاریخ: دریافت ۱۶/۸/۱۳۸۸، اصلاحیه ۱۸/۳/۱۳۸۹، پذیرش ۵/۸/۱۳۸۹.

از مفروضات اصلی این مدل ناچیز بودن هزینه‌ی انجام بازرسی در مقابل هزینه‌ی تعویض پیشگیرانه و هزینه‌ی تعویض به دلیل وقوع خرابی است و بر همین اساس، هزینه‌ی بازرسی در محاسبات منظور نشده است.

واضح است که در شرایطی که انجام بازرسی مستلزم صرف هزینه است، کاهش تعداد بازرسی‌ها از یک سو موجب کاهش هزینه‌ها خواهد بود و از سوی دیگر این خطر را افزایش می‌دهد که به دلیل عدم اطلاع از وضعیت دستگاه، اقدامات پیشگیری به موقع صورت نگیرد و در نتیجه تعداد خرابی‌ها و هزینه‌های ناشی از آنها افزایش یابد. به عبارت دیگر، به نظر می‌رسد در تعیین حد کنترل برای تعویض پیشگیرانه و تعیین بهترین فاصله‌ی بین بازرسی‌های متوالی، ملحوظ داشتن هزینه‌ی بازرسی نیز علاوه بر وضعیت دستگاه، هزینه‌ی تعویض پیشگیرانه و هزینه‌ی تعویض به دلیل وقوع خرابی بسیار ضروری است.

در این نوشتار به منظور بهینه‌سازی توأم آن فواصل بین بازرسی‌های متوالی و حد کنترل مدلی ارائه شده است که از بسط مدل مطرح شده در سال‌های ۱۹۹۲ تا ۲۰۰۶ به دست آمده است [۱۹-۱۴] و در آن، علاوه بر حد کنترل بهینه برای تعویض، فاصله‌ی زمانی بهینه بین بازرسی‌های متوالی نیز تعیین می‌شود.

در مدل پیشنهادی، ابتدا فاصله‌ی بین بازرسی‌های متوالی که سوابق اطلاعاتی دستگاه براساس آن جمع‌آوری و توزیع توأم آن خرابی بر مبنای آن تخمین زده شده است، به عنوان فاصله‌ی پایه در نظر گرفته می‌شود. سپس با استفاده از مفهوم احتمالات انتقال وضعیت شرطی، احتمال تعویض دستگاه به علت خرابی و نیز متوسط فاصله‌ی زمانی بین تعویض‌های متوالی، برای مجموعه فواصل ممکن بین بازرسی‌های متوالی تخمین زده می‌شود. با این فرض که فواصل ممکن بین بازرسی‌های متوالی مضاربی صحیح از فاصله‌ی پایه است، در مرحله‌ی بعد متوسط کل هزینه‌های تعویض (اعم از تعویض پیشگیرانه یا تعویض به دلیل وقوع خرابی) و متوسط کل هزینه‌های بازرسی، برای مجموعه فواصل ممکن بین بازرسی‌های متوالی محاسبه می‌شود. سپس با مقایسه‌ی مقادیر مختلف متوسط کل هزینه‌ها به ازاء مجموعه فواصل ممکن بین بازرسی‌های متوالی، بهترین فاصله‌ی بین بازرسی‌ها به همراه حد کنترل بهینه‌ی متناظر با آن انتخاب می‌شود. معیار بهینه‌سازی، کاهش متوسط مجموع هزینه‌ها در واحد زمان در بلندمدت است.

در ادامه و در بخش ۲، مبانی مدل‌سازی و روش حل مدل اولیه‌ی [۱۹-۱۴] CBM آورده شده است. در بخش ۳، مدل پیشنهادی به تفصیل شرح داده شده، و در بخش ۴ به منظور تشریح بیشتر، یک مثال عددی مطرح شده است. در بخش ۵ نتیجه‌گیری، و نهایتاً در بخش ۶، در قالب دو ضمیمه، اثبات بعضی از جزئیات مدل پیشنهادی بیان شده است.

۲. استراتژی حد کنترل در CBM

نگه‌داری و تعمیر مبتنی بر شرایط دستگاه (CBM) مبتنی بر این باور است که اغلب ماشین‌آلات و تجهیزات صنعتی، پس از رسیدن به یک مرحله‌ی مشخص، نشانه‌هایی برای پیش‌بینی وقوع خرابی از خود بروز می‌دهند. این نشانه‌ها را می‌توان از طریق متغیرهای تشخیص خرابی مانند میزان ارتعاشات، صدا، ذرات فرسایشی، دما و امثال آن تشخیص داد، وقوع خرابی را پیش‌بینی کرد و قبل از رسیدن به مراحل بحرانی، فعالیت پیشگیرانه (تعمیر و یا تعویض) را برنامه‌ریزی و اجرا کرد تا از وقوع خرابی جلوگیری به عمل آید.

در مدل پایه [۱۹-۱۴] که به منظور استفاده از اطلاعات سنجش وضعیت در

تصمیم‌گیری برای زمان تعویض پیشگیرانه دستگاه، مطرح شده است، براساس سابقه‌ی اطلاعاتی موجود، حد کنترل برای تعویض پیشگیرانه با هدف کمینه‌سازی متوسط مجموع هزینه‌های تعویض پیشگیرانه و تعویض به دلیل خرابی در بلندمدت به دست آمده است. در این مدل، فرض بر این است که دستگاه مورد بحث دارای رفتار مارکوفی است و در طول بهره‌برداری می‌تواند دچار خرابی نرم، ناشی از افزایش عمر و کارکرد یا خرابی سخت، ناشی از شوک‌های مقطعی شود. همچنین در طول بهره‌برداری، هیچ فعالیت تعمیراتی در راستای بهبود وضعیت آن صورت نمی‌گیرد و در صورت وقوع خرابی، با یک دستگاه نو تعویض می‌شود.

زمان خرابی دستگاه را با T ، و مقدار متغیر تشخیص خرابی اندازه‌گیری شده در زمان t را با $Z(t)$ نمایش می‌دهیم. بدون کاستن از کلیت مسئله، فرض می‌شود که مجموعه مقادیر ممکن برای متغیر تشخیص خرابی، شمارا و متناهی باشد. دستگاه در فواصل زمانی Δ بازرسی می‌شود تا مقدار متغیر تشخیص خرابی اندازه‌گیری شود. بنابراین برای زمان‌های $t = k\Delta$ که در آن $k = 0, 1, 2, \dots$ ، مقادیر $Z(t)$ مشخص است. فرض کنید $S = \{0, 1, 2, \dots, m\}$ مجموعه مقادیر ممکن برای متغیر تشخیص خرابی در هر بازرسی باشد.

برای پیش‌بینی رفتار متغیرهای تشخیص خرابی از مدل احتمالات انتقال^۵ استفاده می‌شود. [۱۵] در این مدل، با استفاده از مقادیر فعلی و معین متغیر تشخیص خرابی، مقدار آن را در زمان بازرسی بعدی، با یک احتمال معین تخمین می‌زنند. احتمال انتقال شرطی از وضعیت $i \in S$ در زمان دلخواه t به وضعیت $j \in S$ در زمان $t + \Delta$ -- به شرط آن که خرابی بعد از زمان $t + \Delta$ مشاهده شود -- که با P_{ij} نمایش داده می‌شود عبارت است از:

$$P_{ij} = P(Z(t + \Delta) = j | T > t + \Delta, Z(t) = i) \quad (1)$$

تخمین احتمالات انتقال، با روش بیشینه راست‌نامی^۶ و با استفاده از سوابق اطلاعاتی دستگاه صورت می‌گیرد. [۱۵] ماتریس حاصل را «ماتریس انتقال وضعیت» می‌نامند و فرض بر این است که وضعیت دستگاه در فاصله‌ی زمانی بین دو بازرسی متوالی و دلخواه $k\Delta + 1$ و $k\Delta$ ، توسط وضعیت آن در زمان بازرسی $k\Delta$ تقریب زده می‌شود. تابع توأم نرخ خرابی دستگاه و مقادیر متغیرهای تشخیص خرابی را -- که به اختصار «تابع توأم نرخ خرابی» نامیده می‌شود -- با $h(t, Z(t))$ نشان داده و خواهیم داشت:

$$h(t, Z(t)) = \lim_{\delta t \rightarrow 0} \frac{P(t < T \leq t + \delta t | T > t, Z(s), 0 \leq s \leq t)}{\delta t} \quad (2)$$

تخمین تابع توأم نرخ خرابی، با استفاده از سوابق اطلاعاتی و مدل تلفیقی نرخ خرابی (PHM) صورت می‌گیرد. [۱۵] در PHM، تابع توأم نرخ خرابی به صورت $h(t, Z(t)) = h_0(t)\psi(Z(t))$ در نظر گرفته می‌شود و در آن تابع $h_0(t)$ به عنوان نرخ خرابی پایه، فقط وابسته به عمر دستگاه و $\psi(Z(t))$ تابع مثبتی است که وابسته به مقادیر فرایند تشخیص خرابی است. [۱۴] با فرض آن که تابع $h_0(t)$ وایبل باشد، تابع توأم نرخ خرابی به صورت معادله‌ی ۳ خواهد بود:

$$h(t, Z(t)) = \frac{\beta}{\eta} \left(\frac{t}{\eta}\right)^{\beta-1} \exp\{\gamma Z(t)\} \quad (3)$$

با توجه به سوابق اطلاعاتی جمع‌آوری شده از دستگاه، پارامترهای β (پارامتر شکل)، η (پارامتر مقیاس) و γ (پارامتر تأثیر متغیر تشخیص خرابی) با استفاده از روش بیشینه راست‌نامی تخمین زده می‌شود. [۱۹-۱۴]

در مدل مذکور، فرض بر این است که بازرسی‌ها با فواصل ثابت و مشخص از یکدیگر اجرا می‌شوند. پس از هر بازرسی و تعیین مقادیر متغیرهای تشخیص خرابی، تصمیم‌گیری درخصوص تعویض یا ادامه‌ی بهره‌برداری از دستگاه صورت می‌گیرد. اگر وضعیت دستگاه به حد کنترل بهینه رسیده باشد تعویض پیشگیرانه انجام می‌شود و در غیر این صورت، تا زمان بازرسی بعدی بهره‌برداری از آن ادامه می‌یابد. بنابراین، با توجه به ساختار تابع توأم نرخ خرابی، مبنای تصمیم‌گیری در این استراتژی، عمر دستگاه و مقادیر متغیرهای تشخیص خرابی به دست آمده از بازرسی‌هاست. چنانچه دستگاه براساس شوک‌های مقطعی دچار خرابی سخت شود، بلافاصله تعویض می‌شود. [۱۹-۱۵]

فرض کنید k شماره‌ی بازرسی و $t \in [0, \Delta_0)$ باشد. تابع قابلیت اطمینان شرطی تا زمان $t + k\Delta_0$ با $R(k, Z(k\Delta_0), t)$ نشان داده می‌شود و معادل احتمال سالم بودن دستگاه تا زمان $t + k\Delta_0$ است، به شرط آن که دستگاه تا زمان بازرسی k ام سالم بوده و در آن بازرسی در وضعیت $Z(k\Delta_0)$ قرار داشته باشد (رابطه ۴): [۱۹]

$$(k_i - 1) \Delta_0 \leq t_i < k_i \Delta_0 \quad (8)$$

فرض کنید عمر دستگاه از $j\Delta_0$ بیشتر است و در بازرسی j ام در وضعیت i قرار دارد. متوسط زمان باقی‌مانده تا تعویض بعدی، $W(j, i)$ ، و احتمال تعویض دستگاه به علت خرابی، $Q(j, i)$ ، با فرض این که دستگاه در بازرسی شماره‌ی صفر در زمان صفر سالم باشد، براساس روابط ۹ و ۱۰ به دست خواهد آمد. [۱۹]

$$R(k, Z(k\Delta_0), t) = \exp \left\{ - \int_{k\Delta_0}^{k\Delta_0+t} h_0(s) \exp \{ \gamma Z(s) \} ds \right\} \quad (4)$$

$$h_0(s) = \frac{\beta}{\eta} \left(\frac{s}{\eta} \right)^{\beta-1}$$

متوسط هزینه‌های تعویض (اعم از تعویض پیشگیرانه و یا تعویض به دلیل وقوع خرابی) در واحد زمان و با توجه به استراتژی حد کنترل d_{Δ} را با $\phi_{wins}(d_{\Delta})$ نشان می‌دهند و مقدار آن را طبق رابطه‌ی ۵ محاسبه می‌کنند:

$$E \left(\text{Min} \{ T, T_{d_{\Delta}} \} \right) = W(0, 0) \quad (9)$$

$$P \left(T \leq T_{d_{\Delta}} \right) = Q(0, 0) \quad (10)$$

$$\phi_{wins}(d_{\Delta}) = \frac{(C + K) P \left(T \leq T_{d_{\Delta}} \right) + C \left(1 - P \left(T \leq T_{d_{\Delta}} \right) \right)}{E \left(\text{Min} \{ T, T_{d_{\Delta}} \} \right)} = \frac{C + KQ(d_{\Delta})}{W(d_{\Delta})} \quad (5)$$

که در آن d_{Δ} حد کنترل برای اجرای تعویض پیشگیرانه در شرایطی است که فاصله‌ی بین بازرسی‌های متوالی برابر با Δ_0 است. $T_{d_{\Delta}}$ زمان اجرای تعویض پیشگیرانه با توجه به استراتژی حد کنترل d_{Δ} ، C هزینه‌ی تعویض پیشگیرانه، و $C + K$ برابر با هزینه‌ی تعویض به دلیل وقوع خرابی است. [۱۹-۱۵] همچنین $Q(d_{\Delta})$ برابر با احتمال تعویض دستگاه به علت خرابی و $W(d_{\Delta})$ معادل متوسط زمان بین دو تعویض (اعم از تعویض پیشگیرانه یا تعویض به دلیل خرابی) با فرض اجرای استراتژی حد کنترل d_{Δ} است.

بدون در نظر گرفتن هزینه‌های بازرسی، بهترین حد کنترل حدی است که طی آن $Q_{wins}(d_{\Delta})$ کمینه می‌شود. چنانچه تابع توأم نرخ خرابی نسبت به زمان صعودی باشد، به‌ازای حد کنترل بهینه خواهیم داشت: [۱۹، ۲۱]

$$\phi_{wins}(d_{\Delta}^*) = d_{\Delta}^* \quad (6)$$

و لذا حد کنترل بهینه (d_{Δ}^*) را می‌توان با استفاده از روش تکرار نقطه‌ی ثابت به دست آورد. [۱۹] در هر تکرار، باید ابتدا با توجه به رابطه‌ی ۵ زمان متوسط بین دو تعویض متوالی و احتمال تعویض به علت خرابی تخمین زده شود. بدین منظور، به‌ازای هر یک از عناصر مجموعه S ، مقدار t_i چنین تعریف می‌شود:

$$t_i = \inf \{ t \geq 0 \mid Kh(t, i) \geq d_{\Delta} \} \quad d_{\Delta} > 0, \quad i \in S \quad (7)$$

برای تخمین مقادیر $W(0, 0)$ و $Q(0, 0)$ نیز از روابط بازگشتی ۱۱ الی ۱۳ استفاده می‌شود. [۱۹]

$$\begin{cases} W(j, i) = 0 & j > k_i - 1 \\ Q(j, i) = 0 & \end{cases} \quad (11)$$

$$\begin{cases} W(k_i - 1, i) = \int_{t_i - (k_i - 1)\Delta_0}^{t_i} R(k_i - 1, i, s) ds & j = k_i - 1 \\ Q(k_i - 1, i) = 1 - R(k_i - 1, i, t_i - (k_i - 1)\Delta_0) & \end{cases} \quad (12)$$

$$\begin{cases} W(j, i) = \int_0^{\Delta_0} R(j, i, s) ds + R(j, i, \Delta_0) \sum_{r=i}^m W(j+1, r) P_{ir} & j < k_i - 1 \\ Q(j, i) = 1 - R(j, i, \Delta_0) + R(j, i, \Delta_0) \sum_{r=i}^m Q(j+1, r) P_{ir} & \end{cases} \quad (13)$$

با این فرض که وضعیت دستگاه در فاصله‌ی زمانی بین دو بازرسی j ام و $j+1$ ام، توسط وضعیت آن در زمان بازرسی j ام تقریب زده شود، تابع قابلیت اطمینان شرطی در روابط ۱۲ و ۱۳، با توجه به تعریف آن در رابطه‌ی ۴، برابر خواهد بود با:

$$R(j, i, t) = \exp \left\{ -e^{\gamma i} \int_{j\Delta_0}^{j\Delta_0+t} \frac{\beta}{\eta} \left(\frac{s}{\eta} \right)^{\beta-1} ds \right\}$$

چگونگی استنتاج روابط فوق و استفاده از آنها در تعیین حد کنترل بهینه به تفصیل آورده شده است. [۱]

در بخش بعد، مدل پیشنهادی به عنوان نسخه‌ی تکامل‌یافته‌ی مدل فوق ارائه خواهد شد. در این مدل، علاوه بر ملحوظ داشتن هزینه‌های تعویض پیشگیرانه و تعویض به دلیل وقوع خرابی در تعیین حد کنترل بهینه، هزینه‌ی انجام بازرسی‌ها نیز در نظر گرفته شده است تا بتوان حد کنترل بهینه و بهترین فواصل بازرسی را به گونه‌ی تعیین کرد که متوسط مجموع هزینه‌های تعویض پیشگیرانه، تعویض به دلیل وقوع خرابی و هزینه‌ی بازرسی کمینه شود.

۳. بهینه‌سازی توأمان فواصل بازرسی و حد کنترل در CBM

دستگاهی با رفتار مارکوفی را در نظر بگیرید که در طول بهره‌برداری ممکن است دچار خرابی نرم ناشی از افزایش عمر و کارکرد، یا خرابی سخت ناشی از شوک‌های مقطعی شود. همچنین فرض کنید در این مدت، هیچ فعالیت تعمیراتی در راستای بهبود وضعیت دستگاه مذکور صورت نمی‌گیرد. این دستگاه برای رعایت پیشگیری، یا در صورت مشاهده‌ی خرابی، با یک دستگاه نو تعویض می‌شود.

کوچک‌ترین فاصله‌ی زمانی ممکن بین اجرای بازرسی‌های متوالی را به عنوان فاصله‌ی پایه بین بازرسی‌های متوالی تعریف می‌کنیم و آن را با Δ نشان می‌دهیم. فرض بر این است که چندین نوع از دستگاه مورد نظر در یک دوره‌ی زمانی متناهی، با فواصل زمانی Δ بازرسی شده و با توجه به سوابق اطلاعاتی و مباحث مطرح شده در بخش ۲، تابع توأم نرخ خرابی مربوط به این دستگاه و ماتریس انتقال وضعیت تخمین زده شده است. ماتریس انتقال وضعیت مربوط به استراتژی اجرای بازرسی‌ها با فواصل زمانی Δ را «ماتریس انتقال وضعیت پایه» نامیده و آن را با $P^{(\Delta)}$ نشان می‌دهیم.

Δ را به عنوان مضرب صحیحی از فاصله‌ی پایه بین بازرسی‌های متوالی در نظر می‌گیریم. می‌خواهیم از این پس دستگاه را در فواصل زمانی Δ بازرسی کنیم. ماتریس انتقال وضعیت مربوط به این نحوه‌ی بازرسی را با $P^{(\Delta)}$ نشان می‌دهیم. با توجه به خاصیت مارکوفی بودن فرایند تغییر وضعیت دستگاه، از رابطه‌ی ۱۴ برای تخمین ماتریس انتقال وضعیت استفاده می‌کنیم:

$$P^{(\Delta)} = \left(P^{(\Delta)} \right)^{\frac{\Delta}{\Delta}} \quad (14)$$

به عبارت دیگر، ماتریس $P^{(\Delta)}$ از ضرب تعداد Δ/Δ عدد از ماتریس $P^{(\Delta)}$ در یکدیگر به دست خواهد آمد.

با توجه به روابط ۱۱ تا ۱۳، و با توجه به فواصل بازرسی (Δ) ، برای محاسبه‌ی مقادیر مربوط به $\int_{j\Delta}^{\Delta} R(j, i, s) ds$ ، $R(k_i - 1, i, t_i - (k_i - 1)\Delta)$ ، $R(j, i, \Delta)$ و $\int_{j\Delta}^{t_i - (k_i - 1)\Delta} R(k_i - 1, i, s) ds$ فاصله‌ی بین دو بازرسی $j\Delta + 1$ تا $j\Delta + 1$ را به زیرفواصل زمانی مساوی به طول Δ افزایش می‌کنیم (شکل ۱).

فرض بر این است که وضعیت دستگاه در هر یک از این زیر فواصل، با وضعیت آن در ابتدای زیر فاصله‌ی مذکور برابر است. مثلاً برای زیرفاصله‌ی

$$\begin{array}{c} Z(j\Delta) = i \quad j\Delta + 2\Delta \quad j\Delta + f\Delta \quad j\Delta + (f+1)\Delta \\ \hline j\Delta \quad j\Delta + \Delta \quad j\Delta + (f+1)\Delta \quad (j+1)\Delta \end{array}$$

شکل ۱. تقسیم‌بندی فاصله‌ی زمانی بین دو بازرسی به زیرفواصلی با طول فاصله‌ی پایه بین بازرسی‌ها.

$(j\Delta + f\Delta + j\Delta + (f+1)\Delta)$ در شکل ۱ داریم:

$$Z(t) = Z(j\Delta + f\Delta), \quad \forall t \in [j\Delta + f\Delta, j\Delta + (f+1)\Delta) \quad (15)$$

با این فرض که دستگاه در زمان بازرسی $j\Delta$ در وضعیت i باشد، وضعیت آن در زمان $j\Delta + f\Delta$ ، یعنی مقدار $Z(j\Delta + f\Delta)$ لزوماً با $Z(j\Delta)$ برابر نیست، بلکه ممکن است همچنان در وضعیت i باقی بماند یا این که در وضعیت بدتری قرار بگیرد. به عبارت دیگر:

$$Z(j\Delta + f\Delta) \in \{i, i+1, \dots, m\} \quad (16)$$

و لذا احتمال این که دستگاه در زمان $j\Delta + f\Delta$ در وضعیت l ، $l \in \{i, i+1, \dots, m\}$ باشد معادل $(P^{(\Delta)})_{il}^f$ ردیف i از ستون l ام توان f ام ماتریس $P^{(\Delta)}$ خواهد بود (شکل ۲).

با توجه به شکل ۲ و مباحث مطرح شده در بخش قبلی، در ضمیمه‌ی ۱ نشان داده شده است که $R(j, i, \Delta)$ مطابق رابطه‌ی ۱۷ محاسبه می‌شود:

$$R(j, i, \Delta) = \exp \left\{ -e^{\gamma i} \left(\frac{1}{\eta} \right)^{\beta} \left((j\Delta + \Delta)^{\beta} - (j\Delta)^{\beta} \right) - \left(\frac{1}{\eta} \right)^{\beta} \times \sum_{f=1}^{\frac{\Delta}{\Delta}-1} \sum_{l=i}^m \left\{ \left(P^{(\Delta)} \right)_{il}^f e^{\gamma l} \times \left((j\Delta + (f+1)\Delta)^{\beta} - (j\Delta + f\Delta)^{\beta} \right) \right\} \right\} \quad (17)$$

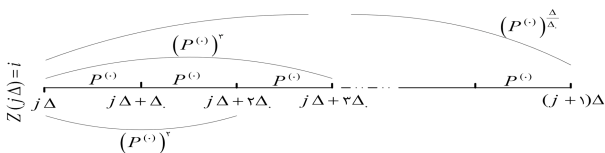
برای محاسبه‌ی $R(k_i - 1, i, t_i - (k_i - 1)\Delta)$ دو حالت در نظر می‌گیریم:
۱. چنانچه $t_i - (k_i - 1)\Delta < \Delta$ ، آنگاه:

$$R(k_i - 1, i, t_i - (k_i - 1)\Delta) = \exp \left\{ -e^{\gamma i} \int_{(k_i - 1)\Delta}^{t_i} h_0(s) ds \right\} \quad (18)$$

۲. چنانچه $t_i - (k_i - 1)\Delta \geq \Delta$ ، آنگاه:

$$R(k_i - 1, i, t_i - (k_i - 1)\Delta) = \exp \left\{ - \left(\frac{1}{\eta} \right)^{\beta} e^{\gamma i} \left(((k_i - 1)\Delta + \Delta)^{\beta} - ((k_i - 1)\Delta)^{\beta} \right) - \left[\left(\frac{1}{\eta} \right)^{\beta} \times \sum_{f=1}^{\left[\frac{t_i - (k_i - 1)\Delta}{\Delta} \right] - 1} \sum_{l=i}^m \left\{ \left(P^{(\Delta)} \right)_{il}^f e^{\gamma l} \times \left(((k_i - 1)\Delta + (f+1)\Delta)^{\beta} - ((k_i - 1)\Delta + f\Delta)^{\beta} \right) \right\} \right] - \left(\frac{1}{\eta} \right)^{\beta} \sum_{l=i}^m \left\{ \left(P^{(\Delta)} \right)_{il}^{\left[\frac{t_i - (k_i - 1)\Delta}{\Delta} \right]} e^{\gamma l} \times \left(t_i^{\beta} - \left((k_i - 1)\Delta + \left[\frac{t_i - (k_i - 1)\Delta}{\Delta} \right] \Delta \right)^{\beta} \right) \right\} \right\} \quad (19)$$

که در آن، نماد $[\cdot]$ معرف تابع جزء صحیح است.



شکل ۲. چگونگی لحاظ ماتریس‌های انتقال وضعیت در فاصله‌ی زمانی بین دو بازرسی.

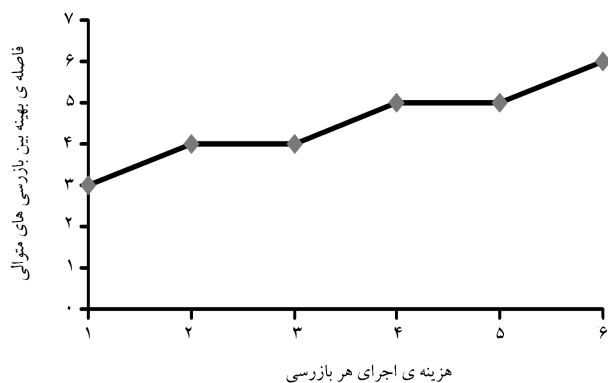
به دلیل خرابی و تعویض پیشگیرانه $K = 40$ و هزینه‌ی بازرسی $C_{ins} = 2$ باشد. می‌خواهیم استراتژی بهینه، شامل حد کنترل بهینه و فاصله‌ی بهینه بین بازرسی‌های متوالی را برای این نوع گیربکس به دست آوریم. بدین منظور، ابتدا به‌ازاء تمام فواصل زمانی فرضی ممکن بین اجرای بازرسی‌های متوالی (مضارب صحیحی از ۱)، حد کنترل بهینه را با استفاده از روش تکرار نقطه‌ی ثابت و روابط ۱۷ تا ۲۲ محاسبه می‌کنیم. مثلاً تکرارهای مربوط به محاسبه‌ی $d_{\Delta=1}, 2, 3$ به ترتیب در جداول ۱ تا ۳ آورده شده است.

همچنان که دیده می‌شود، به‌ازاء $\Delta = 1$ حد بهینه و هزینه‌ی متناظر با آن معادل $d_{\Delta=1}^* = 2,29769$ و برای $\Delta = 2$ و $\Delta = 3$ به ترتیب معادل $d_{\Delta=2}^* = 2,10249$ و $d_{\Delta=3}^* = 2,13824$ محاسبه می‌شود. در مرحله‌ی بعد، هزینه‌های بازرسی را نیز به‌ازاء اجرای هر یک از فواصل بازرسی فوق به دست می‌آوریم. از ترکیب متوسط هزینه‌های تعویض و بازرسی، متوسط کل هزینه‌ها محاسبه می‌شود. در جدول ۴، نتایج مربوط به اجرای بازرسی‌ها با فواصل $\Delta = 1, 2, 3, \dots, 10$ خلاصه و ارائه شده است. با توجه به جدول ۴، بهترین فاصله‌ی بازرسی برای دستگاه برابر با ۴ و حد کنترل بهینه $d_{\Delta=4}^* = 2,25956$ بود. با این استراتژی متوسط کل هزینه‌ها کمینه خواهد شد.

باید توجه داشت که شرایط مؤثر بودن هزینه‌ی بازرسی در شناسایی مقدار مطلوب Δ با توجه به رابطه‌ی ۲۶ قابل تبیین است. چنانچه مقدار $\frac{C_{ins}}{\Delta}$ در مقایسه با مقدار d_{Δ}^* (مقدار بهینه‌ی متوسط هزینه‌ها بدون در نظر گرفتن هزینه‌ی بازرسی) اندک باشد، در نظر گرفتن یا عدم در نظر گرفتن هزینه‌ی بازرسی، ممکن است نقشی در تعیین فواصل بین بازرسی‌ها نداشته باشد. از سوی دیگر، افزایش مقدار Δ اگرچه موجب کاهش مقدار $\frac{C_{ins}}{\Delta}$ خواهد شد (اعداد مربوط به ستون $\phi_{ins}(d_{\Delta})$ در جدول ۴ را ملاحظه فرمایید)، اغلب موجب افزایش d_{Δ}^* نیز خواهد شد (اعداد مربوط به ستون $\phi_{wins}(d_{\Delta})$ در جدول ۴ را ملاحظه فرمایید). با این حال، استفاده از روش پیشنهادی، ارزیابی کمی و توأم آن تأثیر و نیز تعیین دقیق بهترین فاصله‌ی بین بازرسی‌ها و حد کنترل بهینه‌ی متناظر با آن را ممکن می‌سازد. برای وضوح بیشتر، در مورد مثال یادشده هزینه‌ی بازرسی را مقداری صحیح بین ۱ و ۶ فرض کرده و به‌ازاء هر یک از این مقادیر، فاصله‌ی بهینه بین بازرسی‌ها را محاسبه کرده‌ایم. در شکل ۳ نتایج نشان داده شده است. همچنان که دیده می‌شود، فاصله‌ی بهینه‌ی بین بازرسی‌های متوالی، نسبت به هزینه‌ی بازرسی غیرنزولی است. به عبارت دیگر، مطابق انتظار، با افزایش هزینه‌ی بازرسی، در مدل فواصل بازرسی بزرگ‌تری پیشنهاد می‌شود.

جدول ۴. مقایسه‌ی متوسط مجموع هزینه‌ها به‌ازاء فواصل مختلف بین اجرای بازرسی‌های متوالی.

$\phi(d_{\Delta})$	$\phi_{ins}(d_{\Delta})$	$\phi_{wins}(d_{\Delta})$	Δ
۴,۲۹۷۶۹	۲,۰۰۰۰۰۰	۲,۲۹۷۶۹	۱
۳,۱۰۲۴۹	۱,۰۰۰۰۰۰	۲,۱۰۲۴۹	۲
۲,۸۰۴۹۱	۰,۶۶۶۶۷	۲,۱۳۸۲۴	۳
۲,۷۵۹۵۶	۰,۵۰۰۰۰۰	۲,۲۵۹۵۶	۴
۲,۸۲۷۰۱	۰,۴۰۰۰۰۰	۲,۴۲۷۰۱	۵
۲,۹۲۹۱۷	۰,۳۳۳۳۳	۲,۵۹۵۸۴	۶
۳,۱۵۶۷۳	۰,۲۸۵۷۱	۲,۸۷۱۰۲	۷
۳,۴۱۵۵۸	۰,۲۵۰۰۰۰	۳,۱۶۵۵۸	۸
۳,۶۶۳۴۶	۰,۲۲۲۲۲	۳,۴۴۱۲۴	۹
۳,۷۳۸۴۶	۰,۲۰۰۰۰۰	۳,۵۳۸۴۶	۱۰



شکل ۳. فاصله‌ی بهینه بین بازرسی‌های متوالی به‌ازاء هزینه‌های مختلف بازرسی.

جدول ۱. محاسبه‌ی حد کنترل بهینه به‌ازاء $\Delta = 1$.

d_1	$W(0,0)$	$Q(0,0)$	$\phi_{wins}(d_1)$
۵	۸,۳۵۳۲۵	۰,۲۹۰۱۱۴	۲,۵۸۶۳۷
۲,۵۸۶۳۷	۶,۶۲۶۰۳	۰,۱۳۱۶۹۵	۲,۳۰۴۲۲
۲,۳۰۴۲۲	۶,۳۳۵۹۵	۰,۱۱۳۹۵۲	۲,۲۹۷۶۹
۲,۲۹۷۶۹	۶,۳۲۹۲۷	۰,۱۱۳۵۶۸	۲,۲۹۷۶۹

جدول ۲. محاسبه‌ی حد کنترل بهینه به‌ازاء $\Delta = 2$.

d_2	$W(0,0)$	$Q(0,0)$	$\phi_{wins}(d_2)$
۵	۱۰,۵۳۹۴	۰,۴۱۵۰۷	۲,۵۲۴۱۲
۲,۵۲۴۱۲	۸,۳۷۳۷۸	۰,۱۹۹۰۲۳	۲,۱۴۴۹
۲,۱۴۴۹	۷,۸۳۷۲۵	۰,۱۶۱۹۷۷	۲,۱۰۲۶۶
۲,۱۰۲۶۶	۷,۷۷۳۰۸	۰,۱۵۸۵۷	۲,۱۰۲۴۹
۲,۱۰۲۴۹	۷,۷۷۲۸۲	۰,۱۵۸۵۵۶	۲,۱۰۲۴۹

جدول ۳. محاسبه‌ی حد کنترل بهینه به‌ازاء $\Delta = 3$.

d_3	$W(0,0)$	$Q(0,0)$	$\phi_{wins}(d_3)$
۵	۱۱,۶۲۱۸	۰,۵۱۹۱۶۶	۲,۶۴۷۳۱
۲,۶۴۷۳۱	۹,۵۲۹۴۷	۰,۲۷۹۲۳۱	۲,۲۲۱۴۵
۲,۲۲۱۴۵	۸,۸۵۴۵۵	۰,۲۳۳۴۷۸	۲,۱۳۸۹۱
۲,۱۳۸۹۱	۸,۷۱۱۴	۰,۲۱۵۶۷۶	۲,۱۳۸۲۴
۲,۱۳۸۲۴	۸,۷۱۰۲۳	۰,۲۱۵۶۱۳	۲,۱۳۸۲۴

۵. نتیجه گیری

در این نوشتار یک مدل CBM به منظور بهینه سازی تصمیمات نگهداری و تعمیرات پیشگیرانه با در نظر گرفتن هزینه های بازرسی، خرابی و تعویض، و با معیار کمیته سازی متوسط مجموع هزینه ها در واحد زمان در بلندمدت ارائه شد. این مدل سازی برای دستگای صورت گرفته که دارای رفتار مارکوفی است و در طول بهره برداری، هیچ فعالیت تعمیراتی در راستای بهبود وضعیت آن صورت نمی گیرد و بنابراین ممکن است دچار خرابی های نرم یا سخت شود. بعد از هر خرابی، یا به هنگام انجام تعویض پیشگیرانه، دستگاه با یک دستگاه نو تعویض می شود.

مدل پیشنهادی، بسط و تکمیل یک مدل پایه [۱۹-۱۱] است و این امکان را به وجود می آورد که علاوه بر حد کنترل بهینه، فاصله زمانی بهینه بین اجرای بازرسی های متوالی نیز با ملحوظ داشتن هزینه های تعویض به دلیل خرابی، تعویض پیشگیرانه و هزینه های بازرسی تعیین شود.

در مدل ارائه شده در این مطالعه، با تکیه بر مفاهیم فاصله ای پایه بین بازرسی های متوالی و احتمال انتقال وضعیت و با استفاده از مفهوم ماتریس انتقال برای فاصله ای پایه، روابط و معادلات مورد نیاز برای محاسبه احتمال تعویض دستگاه به علت خرابی و متوسط فاصله ای زمانی بین تعویض های متوالی -- که از اجزاء مهم در تعیین حد کنترل بهینه اند -- برای فواصل بازرسی بزرگ تر ارائه شده است. بر اساس این معادلات، متوسط کل هزینه های تعویض برای مجموعه فواصل ممکن بین بازرسی های متوالی محاسبه و پس از ترکیب با هزینه های بازرسی، متوسط کل هزینه ها برای هر یک از فواصل مذکور تعیین می شود. سپس با مقایسه ای مقادیر متوسط کل هزینه ها، بهترین فاصله ای بین بازرسی ها و حد کنترل بهینه ای متناظر با آن انتخاب می شود.

فهرست علائم

T : متغیر تصادفی معرف زمان خرابی دستگاه

$Z(t)$: مقدار متغیر تشخیص خرابی، اندازه گیری شده در زمان t

Δ : کوچک ترین فاصله ای زمانی ممکن بین اجرای بازرسی های متوالی (فاصله ای پایه)

$P^{(c)}$: ماتریس احتمال انتقال وضعیت پایه (اجرای بازرسی ها با فاصله ای Δ از یکدیگر)

S : مجموعه مقادیر ممکن برای $Z(t)$

$h(t, Z(t))$: تابع توأم نرخ خرابی و مقادیر متغیرهای تشخیص خرابی، وابسته به

زمان t و وضعیت $Z(t)$

β : پارامتر شکل در توزیع وایبل

η : پارامتر مقیاس در توزیع وایبل

γ : پارامتر تأثیر متغیر تشخیص خرابی در تابع توأم نرخ خرابی

C : هزینه ای هر تعویض پیشگیرانه

$C + K$: هزینه ای هر تعویض به علت خرابی

P_{ij} : احتمال این که دستگاه در زمان $t + \Delta$ در وضعیت j باشد به شرط آن

که در زمان t وضعیت آن i است و خرابی بعد از زمان $t + \Delta$ واقع می شود

C_{ins} : هزینه ای هر بازرسی

با فرض این که فاصله ای بازرسی های متوالی، برابر با Δ باشد:

$P(\Delta)$: ماتریس احتمال انتقال وضعیت

$d\Delta$: حد کنترل برای اجرای تعویض پیشگیرانه

$Td\Delta$: زمان اجرای تعویض پیشگیرانه با توجه به استراتژی حد کنترل $d\Delta$

t_i : اولین زمانی که در آن، به شرط آن که دستگاه در وضعیت قرار دارد، ریسک

خرابی به حد کنترل می رسد

k_i : شماره ای اولین بازرسی بعد از زمان t_i

$\phi_{wins}(d\Delta)$: متوسط هزینه های تعویض در واحد زمان، در یک افق طولانی

$\phi_{ins}(d\Delta)$: متوسط هزینه های بازرسی در واحد زمان در بلند مدت

$\phi(d\Delta)$: متوسط کل هزینه های تعویض و بازرسی در واحد زمان در بلند مدت

$Q(d\Delta)$: احتمال تعویض به علت خرابی با فرض اجرای استراتژی حد کنترل $d\Delta$

$W(d\Delta)$: متوسط زمان بین دو تعویض (اعم از تعویض پیشگیرانه و یا به دلیل

خرابی) با فرض اجرای استراتژی حد کنترل $d\Delta$

$Q(j, i)$: احتمال تعویض به علت خرابی به شرط آن که در بازرسی زام وضعیت

دستگاه i باشد

$W(j, i)$: متوسط زمان باقیمانده تا تعویض بعدی به شرط آن که در بازرسی زام

وضعیت دستگاه i باشد

$d\Delta^*$: حد کنترل بهینه برای اجرای تعویض پیشگیرانه

$R(j, i, t)$: تابع قابلیت اطمینان شرطی تا زمان $t + \Delta$ j (احتمال سلامت دستگاه

تا زمان $t + \Delta$ به شرط آن که تا بازرسی زام سالم بوده و در آن بازرسی

در وضعیت i باشد)

پانویس

منابع

1. condition-based maintenance (CBM)
2. hazard rate
3. covariates
4. proportional hazards model (PHM)
5. transition probability matrix
6. maximum likelihood method

۱. گل مکانی، حمیدرضا، مدیریت نگهداری و تعمیرات: مدل سازی و بهینه سازی انتشارات دانشگاه امیرکبیر - واحد نقرش، (۱۳۸۸).

2. Jardine, A.K.S.; Lin, D. and Banjevic, D. "A review on machinery diagnostics and prognostics implementing condition-based maintenance", *Mechanical Systems and*

- Signal Processing*, **20**, pp. 1483-1510 (2006).
3. Mobley, R.K., *An Introduction to Predictive Maintenance*, New York, Butterworth-Heinemann (1989).
 4. Goldman, S., *Vibration Spectrum Analysis: A Practical Approach*, New York, Industrial Press, p. 131 (1999).
 5. Christer, A.H. and Wang, W. "A simple condition monitoring model for a direct monitoring process", *European Journal of Operational Research*, **82**, pp. 258-269 (1995).
 6. Okumura, S. "An inspection policy for deteriorating processes using delay-time concept", *International Transactions in Operational Research*, **4**, pp. 365-375 (1997).
 7. Wang, W. "Modeling condition monitoring intervals: A hybrid of simulation and analytical approaches", *Journal of the Operational Research Society*, **54**, pp. 273-282 (2003).
 8. Chen, D.Y. and Trivedi, K.S. "Closed-form analytical results for condition-based maintenance", *Reliability Engineering and System Safety*, **76**(1), pp. 43-51 (2002).
 9. Hosseini, M.M.; Kerr, R.M. and Randall, R.B. "An inspection model with minimal and major maintenance for a system with deterioration and poisson failures", *IEEE Transactions on Reliability*, **49**, pp. 88-98 (2000).
 10. Grall, A.; Berenguer, C. and Dieulle, L. "A condition-based maintenance policy for stochastically deteriorating systems", *Reliability Engineering and System Safety*, **76**, pp. 167-180 (2002).
 11. Kumar, D. and Westberg, U. "Maintenance scheduling under age replacement policy using proportional hazards model and TTT plotting", *European Journal of Operational Research*, **99**, pp. 507-515 (1997).
 12. Chen, D.Y. and Trivedi, K.S. "Optimization for condition-based maintenance with semi-markov decision process", *Reliability Engineering and System Safety*, **90**, pp. 25-29 (2005).
 13. Amari, S.V. and McLaughlin, L. "Optimal design of a condition-based maintenance model", in: *Proceedings of the Annual Reliability and Maintainability Symposium (RAMS)*, IEEE, Los Angeles, CA, USA, pp. 528-533 (2004).
 14. Banjevic, D. and Jardine, A.K.S. "Calculation of reliability and remaining useful life for a markov failure time process", *IMA Journal of Management Mathematics*, **17**, pp. 115-130 (2006).
 15. Banjevic, D.; Jardine, A.K.S.; Makis, V. and Ennis, M. "A control-limit policy and software for condition-based maintenance optimization", *INFOR*, **39**, pp. 32-49 (2001).
 16. Jardine, A.K.S.; Banjevic, D. and Makis, V. "Optimal replacement policy and the structure of software for condition-based maintenance", *Journal of Quality in Maintenance Engineering*, **3**, pp. 109-119 (1997).
 17. Jardine, A.K.S.; Joseph, T. and Banjevic, D. "Optimizing condition-based maintenance decision for equipment subject to vibration monitoring", *Journal of Quality in Maintenance Engineering*, **5**(3), pp. 192-202 (1999).
 18. Jardine, A.K.S.; Makis, V.; Banjevic, D.; Braticevic, D. and Ennis, M. "A decision optimization model for condition-based maintenance", *Journal of Quality in Maintenance Engineering*, **4**(2), pp. 115-121 (1998).
 19. Makis, V. and Jardine, A.K.S. "Optimal replacement in the proportional hazards model", *INFOR*, **30**, pp. 172-183 (1992).
 20. Cox, D.R. and Oakes, D., *Analysis of Survival Data*, London, Chapman and Hall (1984).
 21. Aven, T. and Bergman, B. "Optimal replacement times: A general set-up", *Journal of Applied Probability*, **23**, pp. 432-442 (1986).

$$\begin{aligned}
 R(j, i, \Delta) &= \exp \left\{ - \int_{j\Delta}^{(j+1)\Delta} e^{\gamma Z(s)} h.(s) ds \right\} = \\
 &\exp \left\{ - \int_{j\Delta}^{j\Delta+\Delta} e^{\gamma Z(s)} h.(s) ds - \int_{j\Delta+\Delta}^{j\Delta+\gamma\Delta} e^{\gamma Z(s)} h.(s) ds - \int_{j\Delta+\gamma\Delta}^{j\Delta+\gamma\Delta+\Delta} e^{\gamma Z(s)} h.(s) ds - \dots - \int_{j\Delta+(\frac{\Delta}{\eta}-1)\Delta}^{(j+1)\Delta} e^{\gamma Z(s)} h.(s) ds \right\} = \\
 &\exp \left\{ - \int_{j\Delta}^{j\Delta+\Delta} e^{\gamma Z(j\Delta)} h.(s) ds - \int_{j\Delta+\Delta}^{j\Delta+\gamma\Delta} e^{\gamma Z(j\Delta+\Delta)} h.(s) ds - \int_{j\Delta+\gamma\Delta}^{j\Delta+\gamma\Delta+\Delta} e^{\gamma Z(j\Delta+\Delta)} h.(s) ds - \dots - \int_{j\Delta+(\frac{\Delta}{\eta}-1)\Delta}^{(j+1)\Delta} e^{\gamma Z(j\Delta+(\frac{\Delta}{\eta}-1)\Delta)} h.(s) ds \right\} = \\
 &\exp \left\{ - e^{\gamma Z(j\Delta)} \int_{j\Delta}^{j\Delta+\Delta} h.(s) ds - e^{\gamma Z(j\Delta+\Delta)} \int_{j\Delta+\Delta}^{j\Delta+\gamma\Delta} h.(s) ds - e^{\gamma Z(j\Delta+\gamma\Delta)} \int_{j\Delta+\gamma\Delta}^{j\Delta+\gamma\Delta+\Delta} h.(s) ds - \dots - e^{\gamma Z(j\Delta+(\frac{\Delta}{\eta}-1)\Delta)} \int_{j\Delta+(\frac{\Delta}{\eta}-1)\Delta}^{(j+1)\Delta} h.(s) ds \right\} = \\
 &\exp \left\{ - e^{\gamma l} \int_{j\Delta}^{j\Delta+\Delta} h.(s) ds - \left\{ \begin{array}{l} P(Z(j\Delta+\Delta) = i | T > j\Delta+\Delta, Z(j\Delta) = i) e^{\gamma l} + \\ P(Z(j\Delta+\Delta) = i+1 | T > j\Delta+\Delta, Z(j\Delta) = i) e^{\gamma(l+1)} + \\ \dots + \\ P(Z(j\Delta+\Delta) = m | T > j\Delta+\Delta, Z(j\Delta) = i) e^{\gamma m} \end{array} \right\} \int_{j\Delta+\Delta}^{j\Delta+\gamma\Delta} h.(s) ds \right\} - \\
 &\exp \left\{ \left\{ \begin{array}{l} P(Z(j\Delta+\gamma\Delta) = i | T > j\Delta+\gamma\Delta, Z(j\Delta) = i) e^{\gamma l} + \\ P(Z(j\Delta+\gamma\Delta) = i+1 | T > j\Delta+\gamma\Delta, Z(j\Delta) = i) e^{\gamma(l+1)} + \\ \dots + \\ P(Z(j\Delta+\gamma\Delta) = m | T > j\Delta+\gamma\Delta, Z(j\Delta) = i) e^{\gamma m} \end{array} \right\} \int_{j\Delta+\gamma\Delta}^{j\Delta+\gamma\Delta+\Delta} h.(s) ds \right\} - \\
 &\dots - \left\{ \begin{array}{l} P(Z(j\Delta+(\frac{\Delta}{\eta}-1)\Delta) = i | T > j\Delta+(\frac{\Delta}{\eta}-1)\Delta, Z(j\Delta) = i) e^{\gamma l} + \\ P(Z(j\Delta+(\frac{\Delta}{\eta}-1)\Delta) = i+1 | T > j\Delta+(\frac{\Delta}{\eta}-1)\Delta, Z(j\Delta) = i) e^{\gamma(l+1)} + \\ \dots + \\ P(Z(j\Delta+(\frac{\Delta}{\eta}-1)\Delta) = m | T > j\Delta+(\frac{\Delta}{\eta}-1)\Delta, Z(j\Delta) = i) e^{\gamma m} \end{array} \right\} \int_{j\Delta+(\frac{\Delta}{\eta}-1)\Delta}^{(j+1)\Delta} h.(s) ds \right\} \\
 &\exp \left\{ - e^{\gamma l} \int_{j\Delta}^{j\Delta+\Delta} h.(s) ds - \sum_{l=i}^m P(Z(j\Delta+\Delta) = l | T > j\Delta+\Delta, Z(j\Delta) = i) e^{\gamma l} \int_{j\Delta+\Delta}^{j\Delta+\gamma\Delta} h.(s) ds - \right. \\
 &\left. \sum_{l=i}^m P(Z(j\Delta+\gamma\Delta) = l | T > j\Delta+\gamma\Delta, Z(j\Delta) = i) e^{\gamma l} \int_{j\Delta+\gamma\Delta}^{j\Delta+\gamma\Delta+\Delta} h.(s) ds - \dots - \sum_{l=i}^m P(Z(j\Delta+(\frac{\Delta}{\eta}-1)\Delta) = l | T > j\Delta+(\frac{\Delta}{\eta}-1)\Delta, Z(j\Delta) = i) e^{\gamma l} \int_{j\Delta+(\frac{\Delta}{\eta}-1)\Delta}^{(j+1)\Delta} h.(s) ds \right\} = \\
 &\exp \left\{ - e^{\gamma l} \int_{j\Delta}^{j\Delta+\Delta} h.(s) ds - \sum_{l=i}^m P_{ii}^{(\cdot)} e^{\gamma l} \int_{j\Delta+\Delta}^{j\Delta+\gamma\Delta} h.(s) ds - \sum_{l=i}^m (P^{(\cdot)})_{ii}^{\gamma} e^{\gamma l} \int_{j\Delta+\gamma\Delta}^{j\Delta+\gamma\Delta+\Delta} h.(s) ds - \dots - \sum_{l=i}^m (P^{(\cdot)})_{ii}^{\frac{\Delta}{\eta}-1} e^{\gamma l} \int_{j\Delta+(\frac{\Delta}{\eta}-1)\Delta}^{(j+1)\Delta} h.(s) ds \right\} = \\
 &\exp \left\{ - e^{\gamma l} \int_{j\Delta}^{j\Delta+\Delta} h.(s) ds - \sum_{f=1}^{\frac{\Delta}{\eta}-1} \sum_{l=i}^m (P^{(\cdot)})_{ii}^f e^{\gamma l} \int_{j\Delta+f\Delta}^{j\Delta+(f+1)\Delta} h.(s) ds \right\} = \\
 &\exp \left\{ - e^{\gamma l} \int_{j\Delta}^{j\Delta+\Delta} h.(s) ds - \sum_{f=1}^{\frac{\Delta}{\eta}-1} \sum_{l=i}^m (P^{(\cdot)})_{ii}^f e^{\gamma l} \int_{j\Delta+f\Delta}^{j\Delta+(f+1)\Delta} \left(\frac{s}{\eta} \right)^{\beta-1} ds \right\} = \\
 &\exp \left\{ - e^{\gamma l} \left(\frac{1}{\eta} \right)^{\beta} ((j\Delta+\Delta)^\beta - (j\Delta)^\beta) - \left(\frac{1}{\eta} \right)^{\beta} \sum_{f=1}^{\frac{\Delta}{\eta}-1} \sum_{l=i}^m (P^{(\cdot)})_{ii}^f e^{\gamma l} ((j\Delta+(f+1)\Delta)^\beta - (j\Delta+f\Delta)^\beta) \right\}
 \end{aligned}$$

$$\begin{aligned}
 \int_{\Delta}^{\Delta} R(j, i, s) ds &= \int_{\Delta}^{\Delta} R(j, i, s) ds + \int_{\Delta}^{\gamma\Delta} R(j, i, s) ds + \dots + \int_{\Delta}^{\Delta} R(j, i, s) ds = \\
 &\int_{\Delta}^{\Delta} \exp \left\{ - \int_{j\Delta}^{j\Delta+s} e^{\gamma Z(t)} h.(t) dt \right\} ds + \int_{\Delta}^{\gamma\Delta} \exp \left\{ - \int_{j\Delta}^{j\Delta+s} e^{\gamma Z(t)} h.(t) dt \right\} ds + \dots + \int_{\Delta}^{\Delta} \exp \left\{ - \int_{j\Delta}^{j\Delta+s} e^{\gamma Z(t)} h.(t) dt \right\} ds = \\
 &\int_{\Delta}^{\Delta} \exp \left\{ - e^{\gamma Z(j\Delta)} \int_{j\Delta}^{j\Delta+s} h.(t) dt \right\} ds + \int_{\Delta}^{\gamma\Delta} \exp \left\{ - \int_{j\Delta}^{j\Delta+\Delta} e^{\gamma Z(j\Delta)} h.(t) dt - \int_{j\Delta+\Delta}^{j\Delta+s} e^{\gamma Z(j\Delta+\Delta)} h.(t) dt \right\} ds + \dots + \\
 &\int_{\Delta}^{\Delta} \exp \left\{ - \int_{j\Delta}^{j\Delta+\Delta} e^{\gamma Z(j\Delta)} h.(t) dt - \int_{j\Delta+\Delta}^{j\Delta+\gamma\Delta} e^{\gamma Z(j\Delta+\Delta)} h.(t) dt - \dots - \int_{j\Delta+(\frac{\Delta}{\eta}-1)\Delta}^{j\Delta+s} e^{\gamma Z(j\Delta+(\frac{\Delta}{\eta}-1)\Delta)} h.(t) dt \right\} ds = \\
 &\int_{\Delta}^{\Delta} \exp \left\{ - e^{\gamma l} \left(\frac{1}{\eta} \right)^{\beta} ((j\Delta+s)^\beta - (j\Delta)^\beta) \right\} ds + \\
 &\int_{\Delta}^{\gamma\Delta} \exp \left\{ - e^{\gamma l} \left(\frac{1}{\eta} \right)^{\beta} ((j\Delta+\Delta)^\beta - (j\Delta)^\beta) - \sum_{l=i}^m P_{ii}^{(\cdot)} e^{\gamma l} \left(\frac{1}{\eta} \right)^{\beta} ((j\Delta+s)^\beta - (j\Delta+\Delta)^\beta) \right\} ds + \dots + \\
 &\int_{\Delta}^{\Delta} \exp \left\{ - e^{\gamma l} \left(\frac{1}{\eta} \right)^{\beta} ((j\Delta+\Delta)^\beta - (j\Delta)^\beta) - \sum_{l=i}^m P_{ii}^{(\cdot)} e^{\gamma l} \left(\frac{1}{\eta} \right)^{\beta} ((j\Delta+\gamma\Delta)^\beta - (j\Delta+\Delta)^\beta) - \dots - \right. \\
 &\left. \int_{\Delta}^{\Delta} \exp \left\{ - e^{\gamma l} \left(\frac{1}{\eta} \right)^{\beta} ((j\Delta+s)^\beta - (j\Delta+(\frac{\Delta}{\eta}-1)\Delta)^\beta) \right\} ds = \right. \\
 &\int_{\Delta}^{\Delta} \exp \left\{ - e^{\gamma l} \left(\frac{1}{\eta} \right)^{\beta} ((j\Delta+s)^\beta - (j\Delta)^\beta) \right\} ds + \\
 &\sum_{n=1}^{\frac{\Delta}{\eta}-1} \int_{n\Delta}^{(n+1)\Delta} \exp \left\{ - e^{\gamma l} \left(\frac{1}{\eta} \right)^{\beta} ((j\Delta+\Delta)^\beta - (j\Delta)^\beta) - \sum_{f=1}^{n-1} \sum_{l=i}^m (P^{(\cdot)})_{ii}^f e^{\gamma l} \left(\frac{1}{\eta} \right)^{\beta} ((j\Delta+(f+1)\Delta)^\beta - (j\Delta+f\Delta)^\beta) - \right. \\
 &\left. \sum_{l=i}^m (P^{(\cdot)})_{ii}^n e^{\gamma l} \left(\frac{1}{\eta} \right)^{\beta} ((j\Delta+s)^\beta - (j\Delta+n\Delta)^\beta) \right\} ds
 \end{aligned}$$